Exercice 1* : Montage de roulements à billes

Dans le mécanisme de la figure 1 la manivelle est motorisée en rotation continue. Elle entraîne, au travers de la bielle, le piston qui réalise un mouvement de va-et-vient en translation tout en étant soumis à la force extérieure F. L'articulation piston-bielle admet un angle de rotulage de l'ordre de 0.1 degré. Le palier de la manivelle est rigide et sans jeu (considéré comme un pivot idéal). L'articulation bielle-manivelle, sujet de cet exercice, doit être réalisée au moyen d'un ou plusieurs roulements.

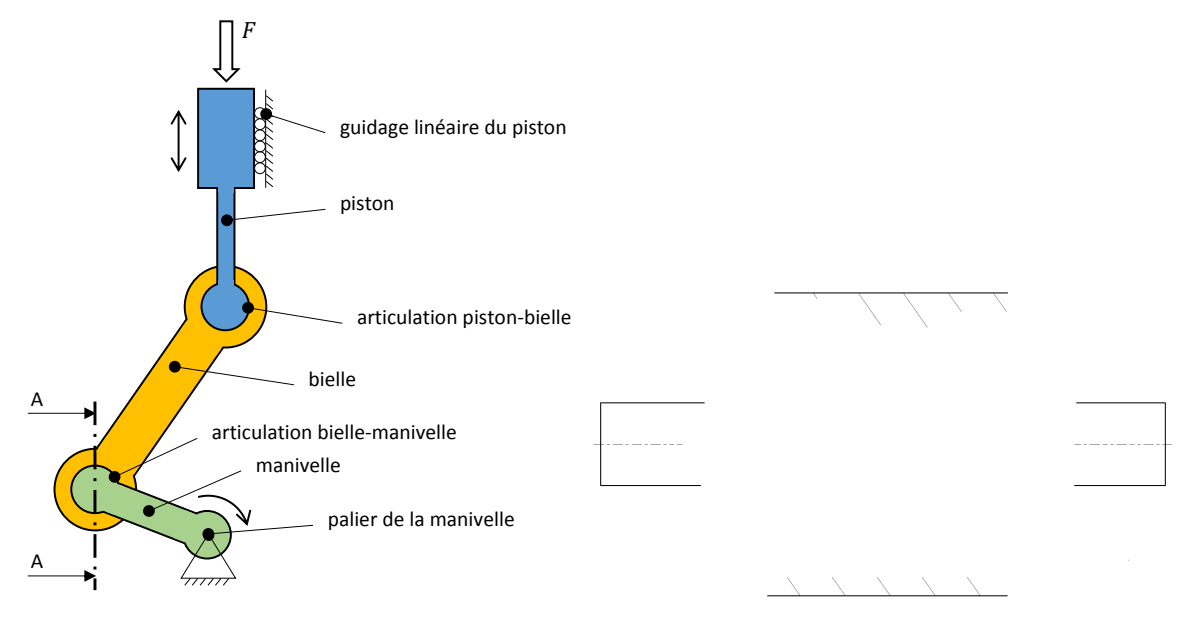


Figure 1

Sur l'ébauche de dessin (Fig. 1, à droite) représentant la coupe A-A de l'articulation *bielle-manivelle*, dessinez **un** montage de roulement(s) adéquat pour cette articulation satisfaisant aux spécifications ci-dessous.

Faites un dessin clair, avec des légendes, **en soignant les détails**, où vous représentez tous les éléments fonctionnels :

- Epaulements sur l'arbre et dans le logement de la bielle;
- Dispositifs de fixation des bagues par obstacle;
- Eléments élastiques de précharge;
- Indiquez sur votre dessin les ajustements en notant « **jeu** » ou « **serrage** » sur toutes les bagues des roulements.

Specifications:

- N'utilisez que des roulements à billes à gorge profonde (aussi appelés roulements rigides à billes);
- L'articulation doit disposer d'une liberté de rotulage (aussi appelé déversement) de l'ordre de 0.1 degré pour tolérer les éventuelles erreurs de parallélisme entre le plan dans lequel tourne la manivelle et le plan dans lequel se meut la bielle;
- L'articulation doit présenter un jeu axial nul;
- S'il est préchargé, le montage de roulements doit être préchargé élastiquement (et non pas géométriquement) de manière à contrôler précisément les forces de précharge.

Exercice 2: Rotor avec balourd

Le montage ci-dessous représente un stator fixe autour duquel tourne un rotor guidé par

• un roulement à gorge profonde,

• et un roulement à contact oblique.

Le rotor présente un balourd : son centre de masse G est décalé de l'axe de rotation d'une distance r.

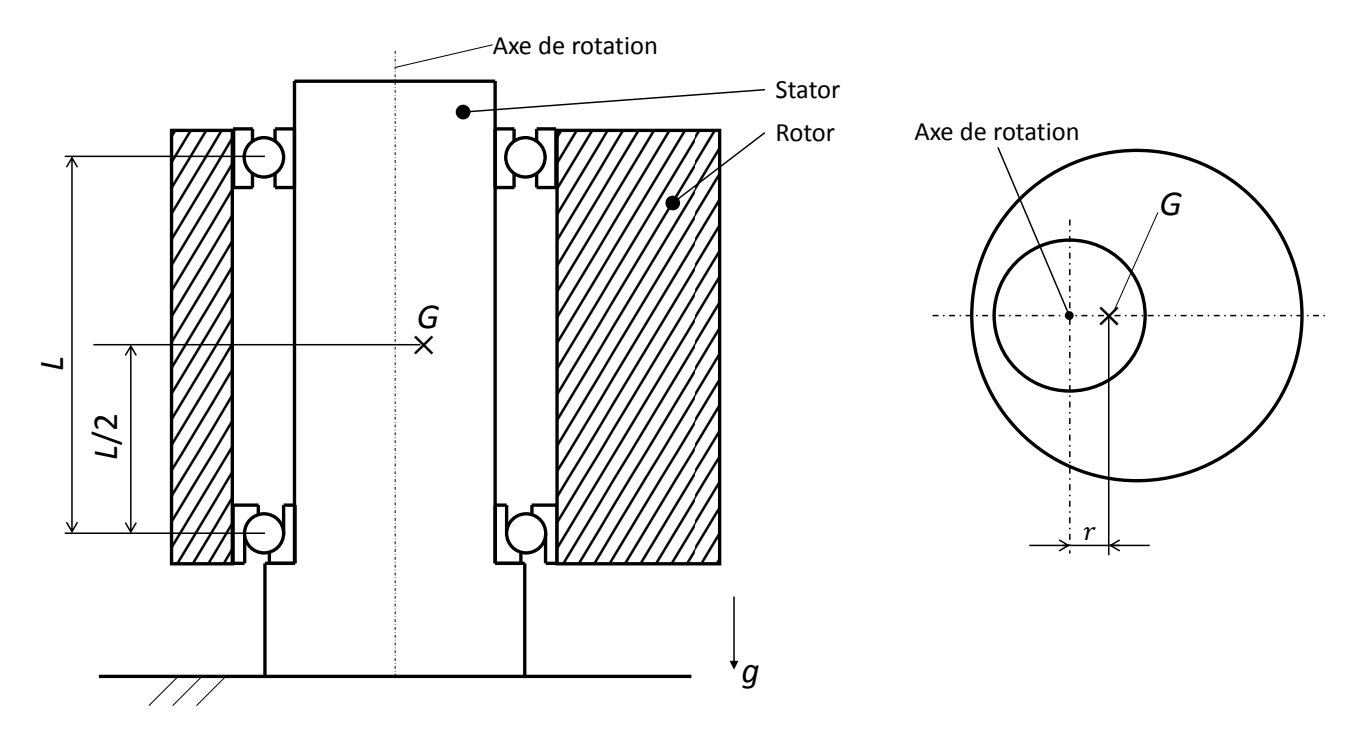


Figure 2.1. Vue en coupe du montage (à gauche) et vue axiale du rotor (à droite). Les éléments de montage (segments d'arrêts, écrous, etc. ne sont pas représentés).

Données et hypothèses :

- Vitesse de rotation du rotor : n = 15'000 tours/min.
- Rayon de giration du centre de masse du rotor (décentrage du balourd : figure 3.1) : $r = 50 \ \mu \text{m}$.
- Les effets de la gravité sont négligés : $q \approx 0$.
- Ecartement des roulements (figure 3.1) : L = 135 mm.
- Masse du rotor : m = 4 kg.
- Paramètres du roulement à contact oblique (figure 3.2) : $10/30 \times 9$; d=10 mm; D=30 mm; B=9 mm.
- Position du point de charge du roulement à contact oblique (figure 3.2) : a = 13 mm.
- Charge dynamique de base du roulement à contact oblique : $C=7.02~\mathrm{kN}.$
- Paramètres du roulement à gorge profonde (figure 3.2) : $10/30 \times 9$; d=10 mm; D=30 mm; B=9 mm.

Rappels des formules applicables aux roulements à contact oblique :

- La figure 2.2 indique comment calculer la charge dynamique équivalente P en fonction de F_r et F_{atot} , selon le catalogue du fabricant.
- La durée de vie nominale, exprimée en millions de tours, est : $L_{10} = \left(\frac{C}{P}\right)^3$.

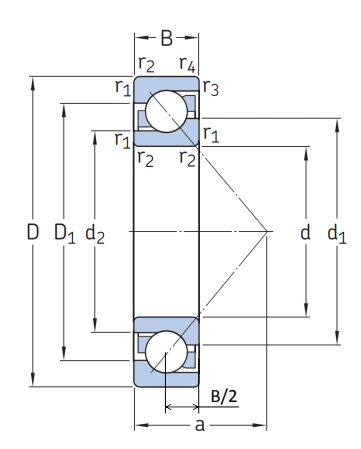


Figure 2.2. Paramètres du roulement à contact oblique. Note : pour le roulement à gorge profonde, les paramètres sont les mêmes (excepté a).

Question 1 : Calculer la charge radiale F_c agissant au centre de masse G du rotor en raison de l'accélération centripète a_c .

Rappel : Pour une vitesse angulaire ω et un rayon de giration r, l'accélération centripète est $a_c = r \cdot \omega^2$.

Question 2 : Calculer la charge radiale F_r agissant sur le roulement à contact oblique.

Question 3 : Calculer la durée de vie nominale du montage, en nombre d'années.

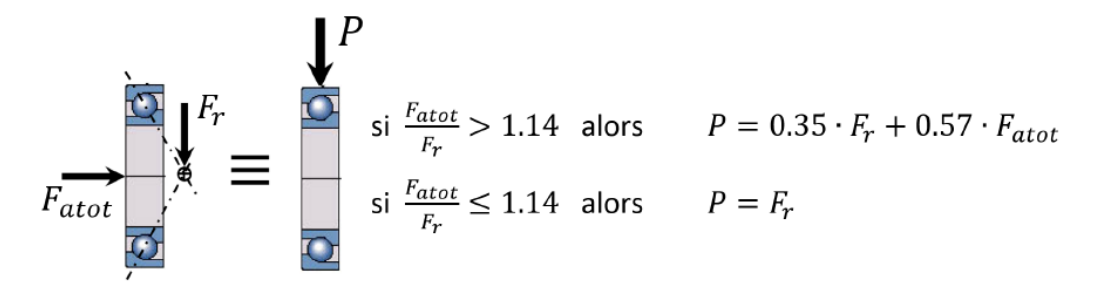


Figure 3.3. Estimation des charges dynamiques équivalentes P pour roulements à billes à contact oblique individuel.

Question 4:

a) L'une des bagues du roulement à gorge profonde est ajustée avec serrage, l'autre avec jeu : connectez chacun des \bullet avec le \circ correspondant :

Bague intérieure du roulement • o montée avec serrage (chassée)

Bague extérieure du roulement • o montée avec jeu positif

b) Si l'on souhaite appliquer une précharge élastique au moyen d'un ressort exerçant une force axiale sur le roulement à gorge profonde, est ce que le ressort doit agir sur (cochez ce qui convient et expliquez pourquoi):

□ la bague intérieure du roulement à gorge profonde

□ la bague extérieure du roulement à gorge profonde

c) Dans quel sens le ressort doit-il exercer sa force sur la bague afin d'obtenir un montage de type « en O » (cochez ce qui convient) :

 \square force axiale du ressort dirigée vers le haut sur la figure 3.1

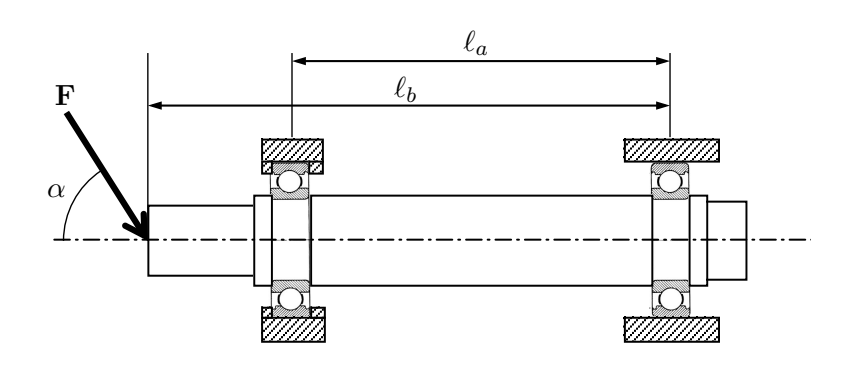
☐ force axiale du ressort dirigée vers le bas sur la figure 3.1

Exercice 3a : Durée de vie de roulements

Calculez la durée de vie des roulements pour la construction ci-dessous.

Données

- F = 100 N
- $n = 5000 \text{ tr min}^{-1}$
- $\ell_a = 80 \text{ mm}$
- $\ell_b = 100 \text{ mm}$
- $\alpha = 45$ °
- Roulements à gorge profonde
- Diamètre $10/30 \times 9$

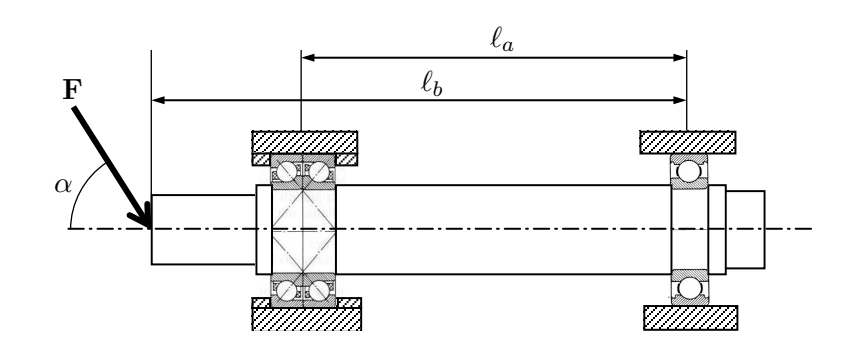


Exercice 3b : Durée de vie de roulements

Calculez la durée de vie des roulements pour la construction ci-dessous.

Données

- F = 100 N
- $n = 5000 \text{ tr min}^{-1}$
- $\ell_a = 80 \text{ mm}$
- $\ell_b = 100 \text{ mm}$
- $\alpha = 45$ °
- Roulements à contact oblique
- Diamètre $12/32 \times 10$



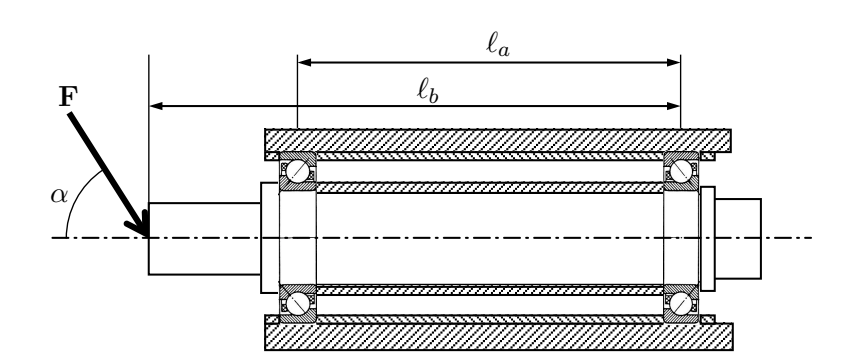
Remarque: Considérez les roulements à contact oblique comme une PAIRE de roulements.

Exercice 3c : Durée de vie de roulements

Calculez la durée de vie des roulements pour la construction ci-dessous.

Données

- F = 100 N
- $n = 5000 \text{ tr min}^{-1}$
- $\ell_a = 80 \text{ mm}$
- $\ell_b = 100 \text{ mm}$
- $\alpha = 45$ °
- Roulements à contact oblique
- Diamètre $12/32 \times 10$



Remarque : Considérez chaque roulement à contact oblique comme un roulement INDIVIDUEL.

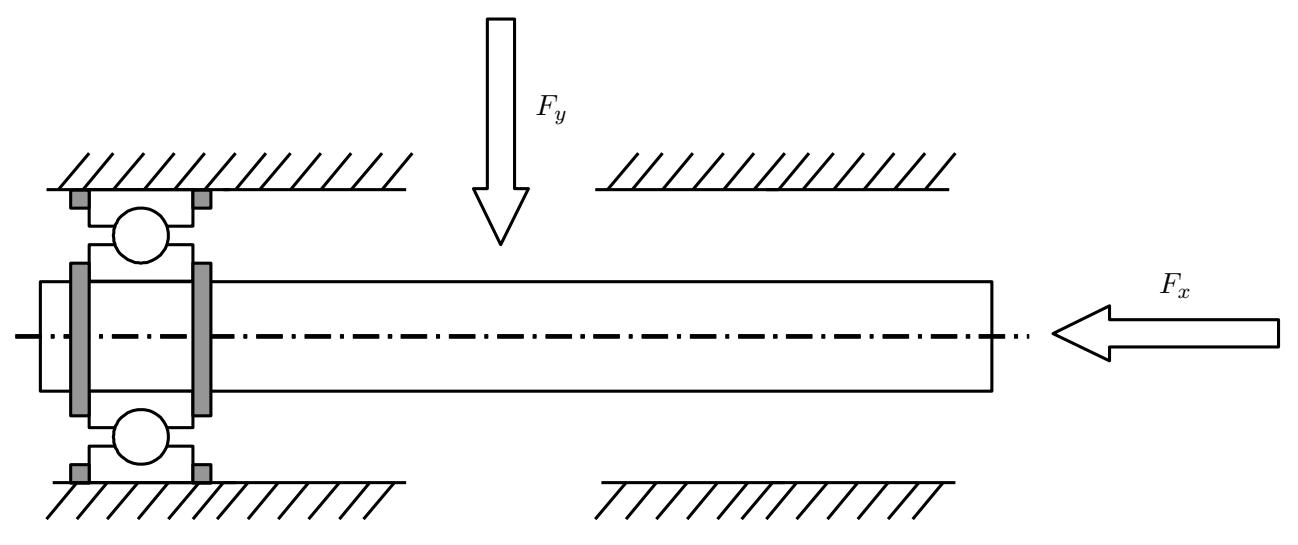
Exercice 3d : Montage de roulements

Complétez le montage[★] et le tableau ci-dessous (plusieurs solutions possibles).

Diamètre des roulements : Ø 6/13

Type d'application pour le choix des tolérances : mécanique générale.

Notes : Faible jeu permis. Les forces sont fixes par rapport au bâti.



Bague intérieure	☐ Charge tournante
	☐ Charge fixe
Bague extérieure	☐ Charge tournante
0	☐ Charge fixe
Tolérances arbre et alésage de gauche	
Tolérances arbre et alésage de droite	
Force axiale côté gauche	
S	
The same of the sa	
Force radiale côté gauche	
Force axiale côté droit	
Force radiale côté droit	
Jeu radial	

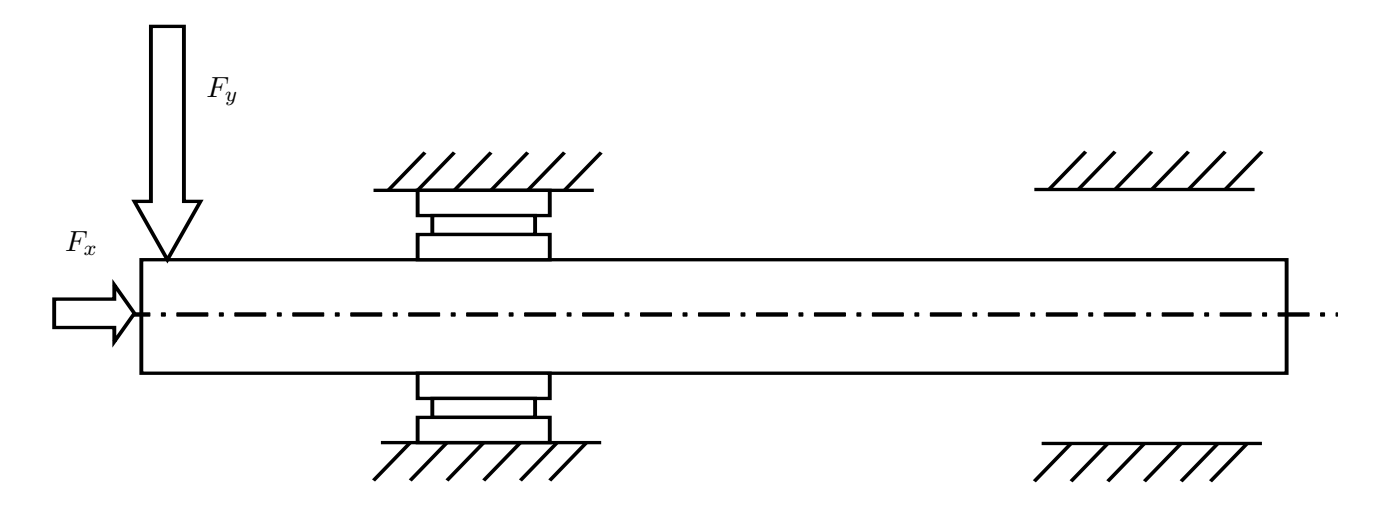
Exercice 3e : Montage de roulements

Complétez le montage[★] et le tableau ci-dessous (plusieurs solutions possibles).

Diamètre des roulements : Ø 15/35

Type d'application pour le choix des tolérances : mécanique générale.

Notes : Faible jeu permis. Les forces sont fixes par rapport au bâti.



☐ Charge tournante☐ Charge fixe
☐ Charge tournante ☐ Charge fixe

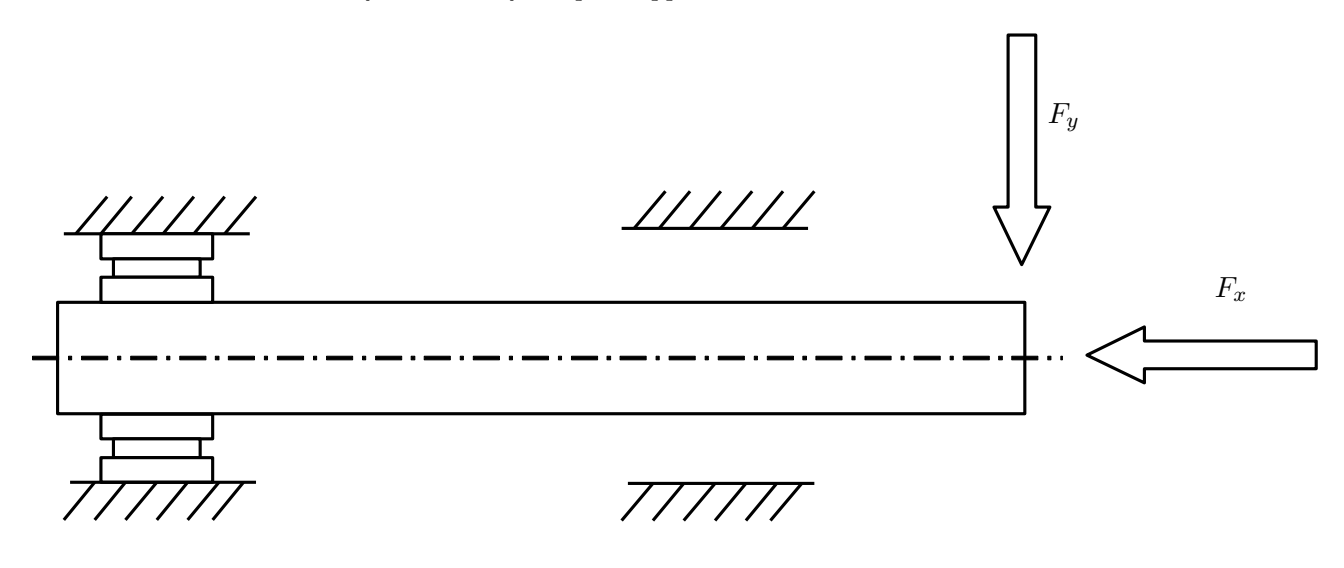
Exercice 3f : Montage de roulements

Complétez le montage[★] et le tableau ci-dessous (plusieurs solutions possibles).

Diamètre des roulements : Ø 15/35

Type d'application pour le choix des tolérances : mécanique générale.

Notes : Jeu axial nul. Les forces sont fixes par rapport au bâti.



Bague intérieure	☐ Charge tournante ☐ Charge fixe
Bague extérieure	☐ Charge tournante ☐ Charge fixe
Tolérances arbre et alésage de gauche	
Tolérances arbre et alésage de droite	
Force axiale côté gauche	
Force radiale côté gauche	
Force axiale côté droit	
Force radiale côté droit	
Jeu radial	

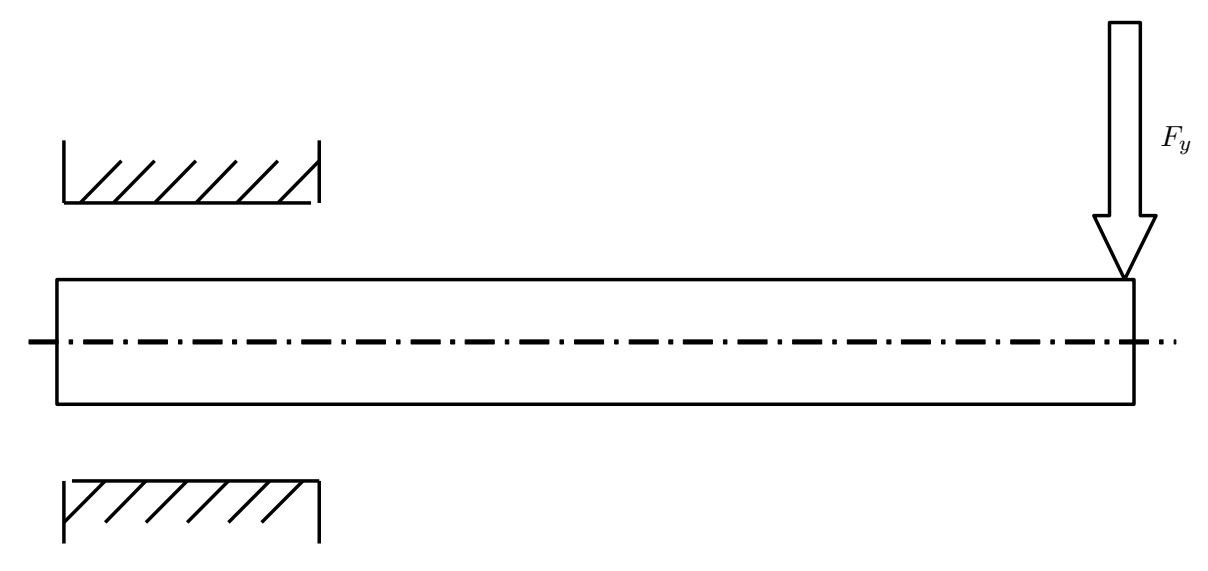
Exercice 3g: Montage de roulements

Complétez le montage[★] et le tableau ci-dessous (plusieurs solutions possibles).

Diamètre des roulements : Ø 15/35

Type d'application pour le choix des tolérances : mécanique générale.

Notes : Jeu axial nul. La force est fixe par rapport au bâti.



Bague intérieure	☐ Charge tournante
	☐ Charge fixe
Bague extérieure	☐ Charge tournante
Dague exterieure	☐ Charge fixe
Tolérances arbre et alésage de gauche	
Tolérances arbre et alésage de droite	
Force axiale côté gauche	
Force radiale côté gauche	
Force axiale côté droit	
Force radiale côté droit	
Jeu radial	

Exercice 3h : Montage de roulements

Complétez le montage★ ci-contre et le tableau ci-dessous (plusieurs solutions possibles).

Diamètre des roulements : Ø 6/13

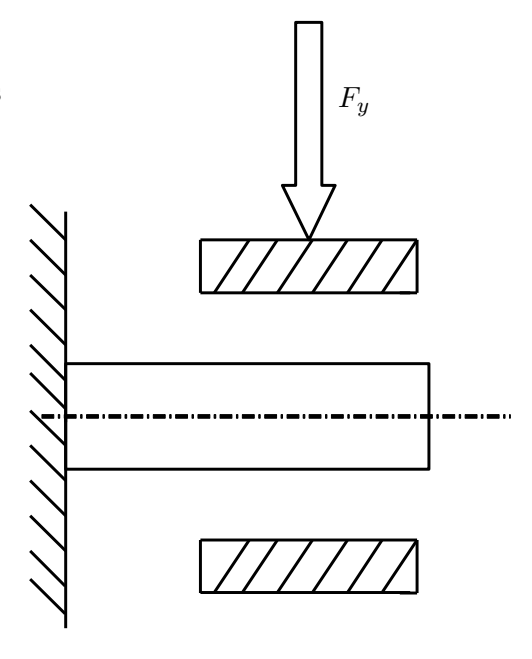
Condition d'utilisation pour le choix des tolérances :

Charges normales et grandes, la bague non-serrée doit pouvoir coulisser facilement.

Notes:

Faible jeu permis.

La force est fixe par rapport au bâti.



Bague intérieure	☐ Charge tournante ☐ Charge fixe
Bague extérieure	☐ Charge tournante ☐ Charge fixe
Tolérances arbre et alésage de gauche	
Tolérances arbre et alésage de droite	
Force axiale côté gauche	
Force radiale côté gauche	
Force axiale côté droit	
Force radiale côté droit	
Jeu radial	

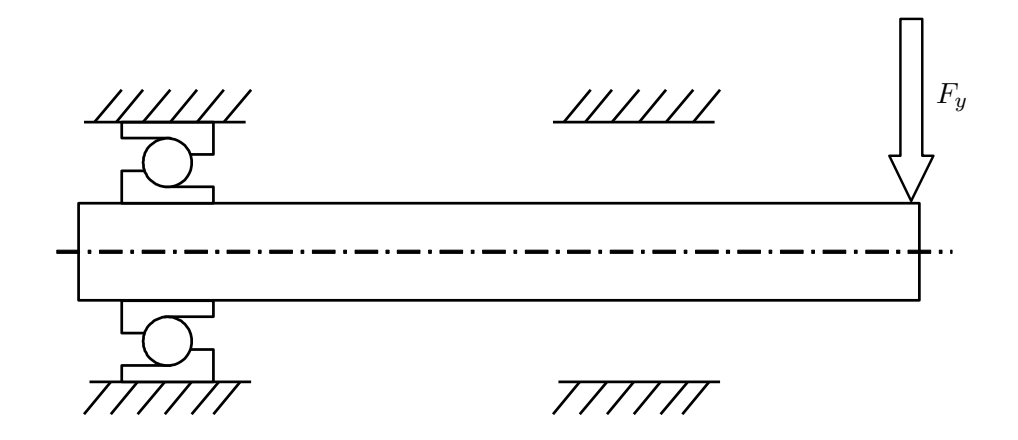
Exercice 3i : Montage de roulements

Complétez le montage★ et le tableau ci-dessous (plusieurs solutions possibles).

Diamètre des roulements : Ø 15/35

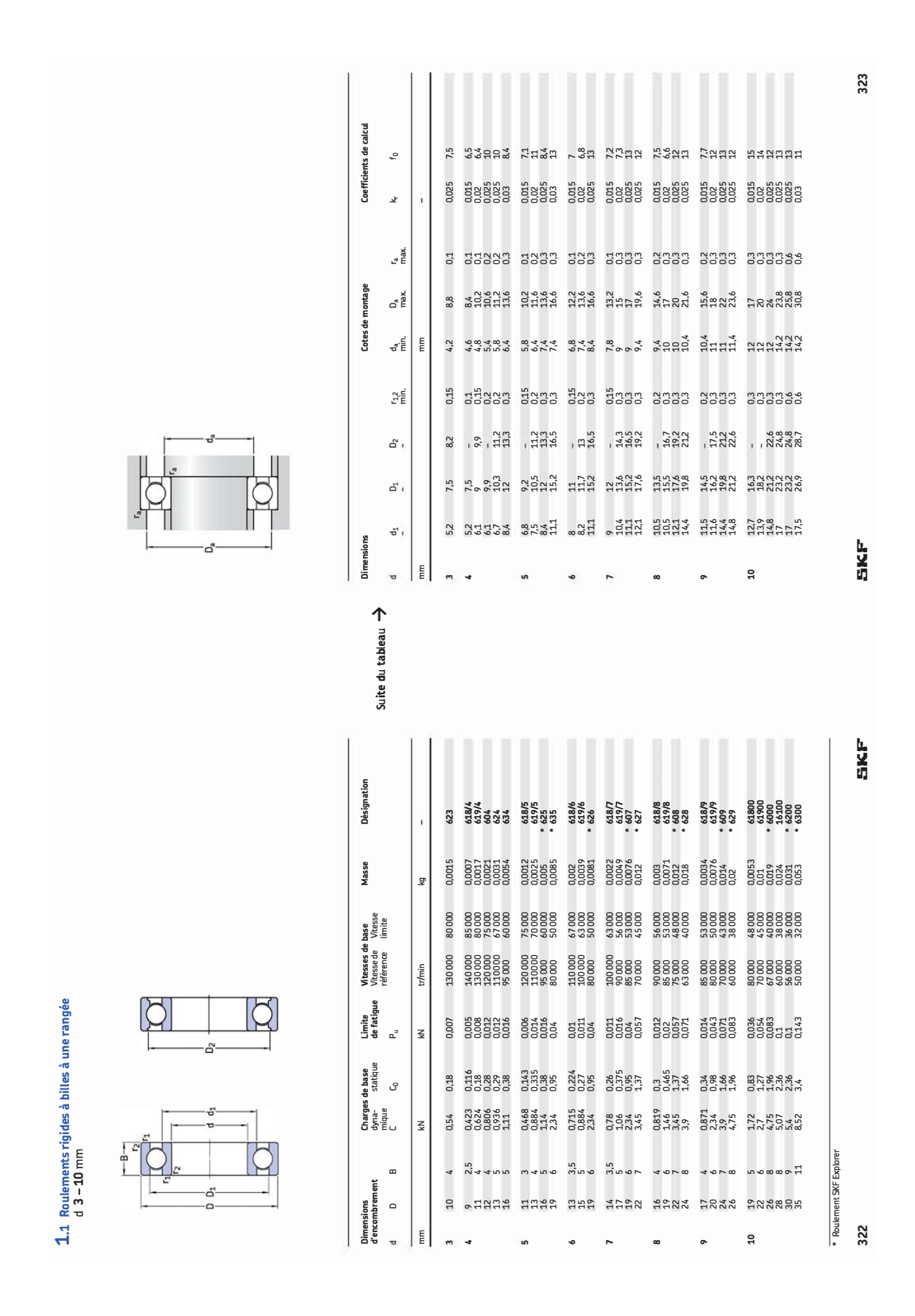
Type d'application pour le choix des tolérances : mécanique générale.

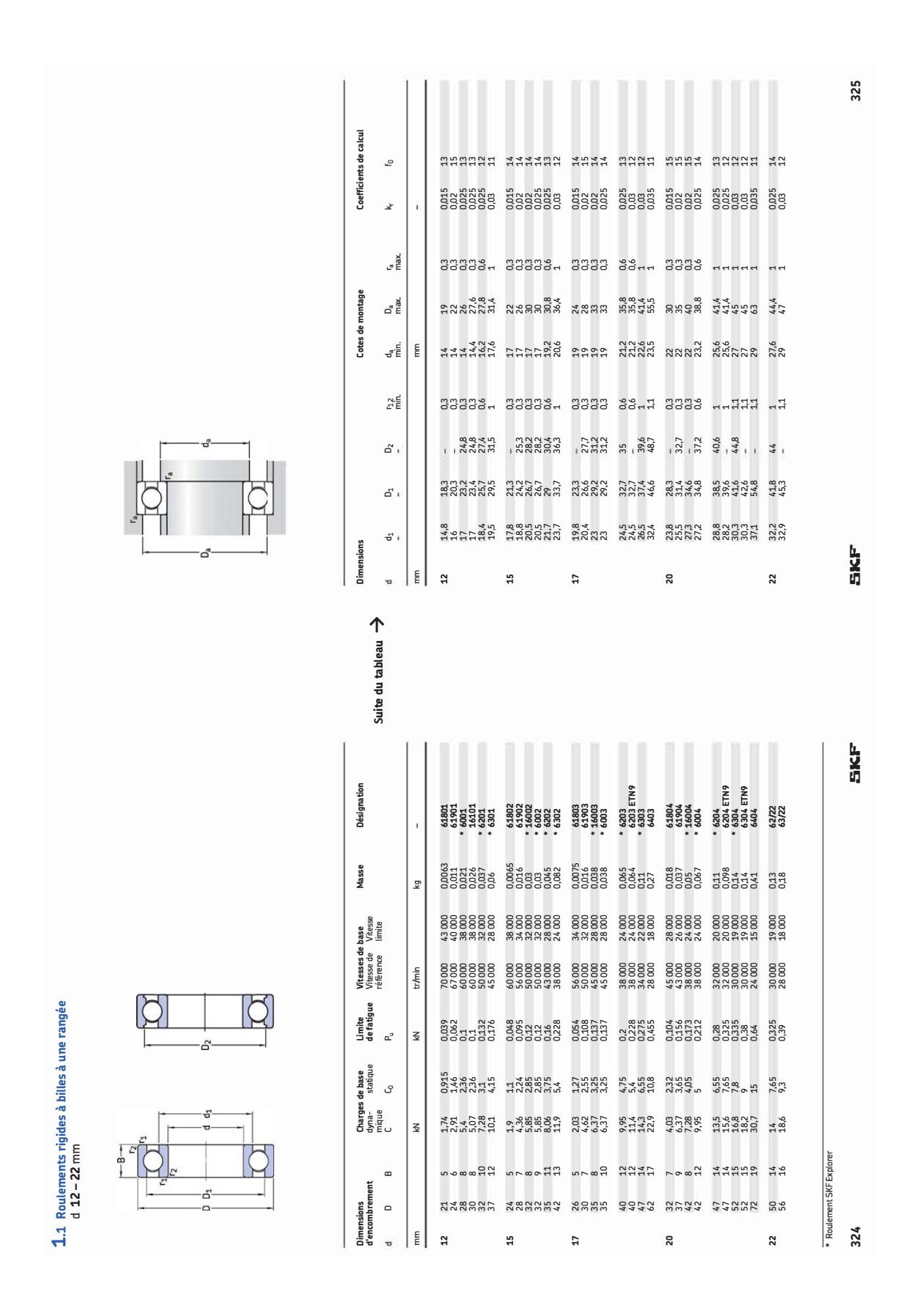
Notes : Jeu axial nul. La force est fixe par rapport au bâti.



Bague extérieure Charge tournante Charge fixe Tolérances arbre et alésage de gauche Tolérances arbre et alésage de droite Force axiale côté gauche Force radiale côté gauche Force radiale côté droit Force radiale côté droit Jeu radial	Bague intérieure	☐ Charge tournante ☐ Charge fixe
Tolérances arbre et alésage de droite Force axiale côté gauche Force radiale côté gauche Force axiale côté droit Force radiale côté droit	Bague extérieure	
Force axiale côté gauche Force radiale côté gauche Force axiale côté droit Force radiale côté droit	Tolérances arbre et alésage de gauche	
Force radiale côté gauche Force axiale côté droit Force radiale côté droit	Tolérances arbre et alésage de droite	
Force axiale côté droit Force radiale côté droit	Force axiale côté gauche	
Force radiale côté droit	Force radiale côté gauche	
	Force axiale côté droit	
Jeu radial	Force radiale côté droit	
	Jeu radial	

EXTRAITS DU ©SKF





Roulements à billes à contact oblique à une rangée d 10-25 mm

507 0.0 0.0 0.0 0.0 0.0 0.0 0.0 0.0 0.0 9,0 9,0 0,6 0,6 0.0 0.0 0.0 0.0 г пах. 1,6 0,6 0,6 0,6 47,8 47,8 47,8 47,8 D_b 35,8 35,8 35,8 42,8 42,8 42,8 42,8 42,8 42,8 47,8 47,8 47,8 47,8 6,7,4 57,8 57,8 57,8 57,8 D_а тах. 35,8 35,8 35,8 41,4 4,1,1,4 4,1,1,4 4,1,1,4 4,6,4 46,4 46,4 46,4 46,4 16,2 17,6 19,2 19,2 20,6 25,6 25,6 25,6 25,6 25,6 25,6 30,6 30,6 30,6 30,6 å.Ë 222,8 222,8 222,8 222,8 223,8 26,8 26,8 26,8 26,8 16 16 18,6 18 18 18 20,4 22222 T3,4 0.0 0.0 0.0 0.0 0.0 0,6 0,6 0,6 0,6 0,6 0,6 0,6 0,6 0,6 0,6 0,6 0,6 1,2 1,2 1,0 55555 0.6 41,5 41,5 41,5 41,5 41,5 31,2 31,2 31,2 31,2 36,2 36,5 36,5 36,5 36,5 36,5 7,07 4,04 4,04 4,04 4,04 25 28,3 27,8 27,8 32,6 30,9 30,9 30,9 30,9 19 19 20,7 21,7 21,7 21,7 22,8 25,9 25,9 25,9 25,9 33,3 33,3 33,3 36,1 36,1 36,1 36,1 26,3 26,3 26,3 28,7 30,8 30,8 30,8 30,8 39,8 39,8 39,8 39,8 25 Suite du tableau → * 7304 BECBPH * 7304 BECBM * 7304 BECBP 7304 BECBP * 7205 BECBPH * 7205 BECBM * 7205 BECBP 7205 BECBP * 7305 BECBPH * 7305 BECBM * 7305 BECBP 7305 BECBP 7303 BECBP 0,065 0,065 0,065 0,065 0,11 0,14 0,14 0,14 0,14 0,14 0,13 0,13 0,13 0,13 0,13 0000 0000 0000 0000 0000 0,23 0,23 0,23 0,23 0,23 Vitesses de base Vitesse de Vitesse référence limite $\begin{array}{c} 19\,000 \\ 19\,000 \\ 18\,000 \\ 18\,000 \\ 19\,000 \\ \end{array}$ 18 000 18 000 18 000 16 000 16 000 0,425 0,425 0,425 0,44 0,4 0,25 0,25 0,26 0,26 0,355 0,655 0,655 0,655 0,655 0,655 0,43 0,43 0,43 0,43 0,4 Charges de base dyna-statique mique C 5,85 5,5 6,1 8,3 8,15 8,15 8,3 7,65 8,15 15,3 15,3 15,3 15,6 10 10,4 9,5 93,23 11 10,4 11,1 15,9 7,61 14,3 14,3 13,3 14,3 19 19 17,4 15,6 15,6 15,6 15,6 14,8 26,5 26,5 26,5 26,5 24,2

©SKF

605 0,017 4 6,5 0,017 4 6,5 Bague d'épaulement Bague d'épaulement Désignation Masse HJ 304 EC HJ 304 EC -0,15 0,15 0,12 0,15 0,15 0,15 0,15 0,12 0,15 0,15 0,15 2,00 0,3 9,0 9.0 ra max. 43,1 46,4 46,4 46,4 48,5 D_a max. 41,7 41,7 42,7 41,7 41,7 41,7 41,7 41,7 41,7 45,4 45,4 45,4 48 45,4 45,4 45,4 36 36 36 37,1 d_b, D_a 37 27 37 27 d_a max. 26,2 26,2 -44 21,1 21,1 -33 21,1 23,1 23,1 38 25,4 25,4 -40 25,4 25,4 30,4 30,4 -24,1 26,1 26,1 26,1 29,9 $\hat{\boldsymbol{J}}_{s}^{d}$ 20,7 20,7 20,7 20,7 19,9 20,7 20,7 22,1 22,1 22,1 1,5 0,9 0,9 -0,9 1,9 13.1 0,3 2 73,4 H. 0,3 000 000 000 000 0.3 0,6 0,6 0,6 0.0 0.0 0.0 0.0 0.0 0.0 0,6 0,6 0,6 9,0 0.0 0.0 0.0 0.0 71,2 min. 0,6 0,6 0,6 0,6 0,6 0,6 4444 444 31,5 31,5 31,5 46,5 22,1 22,1 35,1 22,1 22,1 22,1 22,1 22,1 22,1 24,2 24,2 40,2 27,5 27,5 27,5 45,5 8,80,81 8,88 42,4 42,4 42,4 -42,4 42,4 42,4 43,8 43,8 43,8 32,4 32,4 32,4 32,4 32,4 32,4 $^{1}_{1}$ -7,72 27,7 29,7 29,7 29,7 29,7 31,2 31,2 31,2 34,7 34,7 34,7 15 20 Suite du tableau Autre cage standard¹⁾ **Désignations** Roulement à cage standard nande de roulements avec une autre cage standard, le suffixe de la cage star ple NU .. ECP devient NU .. ECML (pour la vitesse admissible → page 600). 5.1 Roulements à rouleaux cylindriques à une rangée d 15 – 25 mm 0,068 0,07 0,072 0,066 0,093 0,15 0,15 0,15 0,15 0,13 0,14 0,14 0,13 Vitesses de base Vitesse Vitesse de réfé- limite rence 22 000 22 000 22 000 19 000 19 000 19 000 15 000 15 000 15 000 3,35 1,22 1,73 1,73 1,73 2,65 2,65 2,65 2,55 2,55 2,55 2,75 2,75 3,45 3,45 3,25 롲 sta-sta-tique C₀ 14,3 14,3 14,3 21,6 21,6 21,6 10,2 20,4 20,4 20,4 22 22 22 22 22 27,5 3888 22 72 Charges of dyna-mique 14,2 47,5 47,5 47,5 28,6 28,6 28,6 28,6 17,2 17,2 17,2 17,2 23,8 23,8 23,8 24,6 24,6 24,6 35,55 ⊋ 12 47 99999 47 47 47 47 47 52 52 52 604 E 15

©SKF

FaB = R FrB

 $K_a < R \left(F_{rB} - F_{rA} \right)$

FrA < FrB

Cas 1c

FaB = R FrB

 $F_{rA} \le F_{rB}$

K_a ≥ 0

Cas 2a

FaB = R FrB

 $F_{aA} = F_{aB} + K_a$

FrA > FrB

Cas 2b

 $K_a \ge R (F_{rA} - F_{rB})$

Ë

 $\mathsf{F}_{aB} = \mathsf{F}_{aA} - \mathsf{K}_a$

FaA = R FrA

F_{rA} > F_{rB}

Cas 2c

K_a < R (F_{rA} - F_{rB})

 $F_{aB} = F_{aA} + K_a$

 $F_{rA} \ge F_{rB}$

K_a≥0

Cas 1a

FaA = R FrA

F_{rA} < F_{rB}

Cas 1b

 $K_a \ge R (F_{rB} - F_{rA})$

Tableau 11

Charge axiale des montages de roulements intégrant deux roulements à billes à contact oblique à une rangée de type B ou BE et/ou des roulements appariés en T

Charges axiales

Conditions de charge

Montage de roulement

3

SKF

967

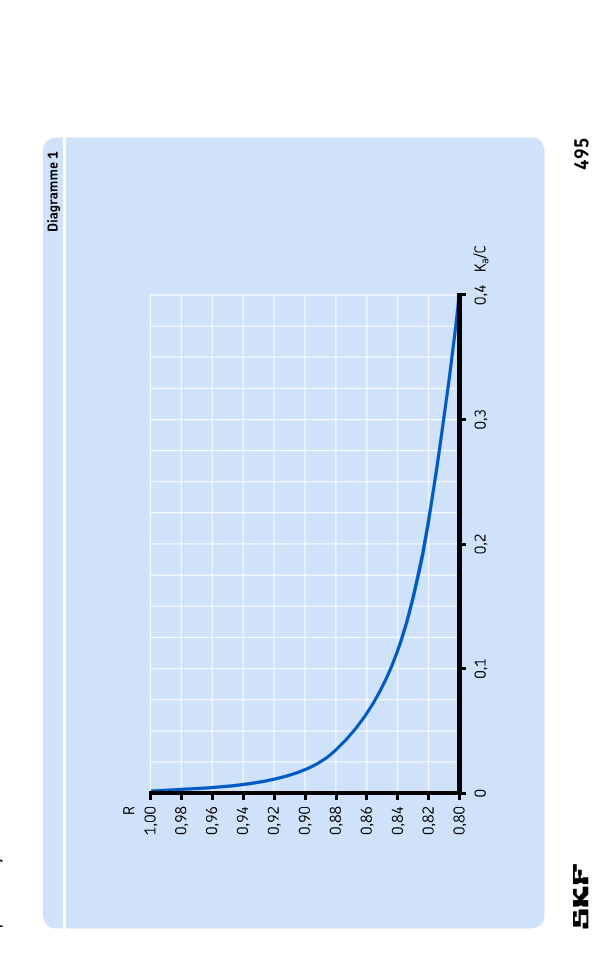
3 Roulements à billes à contact oblique

Calcul de la charge axiale pour les roulements montés individuellement _{tie} ou appariés en T

Lorsqu'une charge radiale est appliquée à un roulement à billes à contact oblique à une rangée, la ligne d'action de cette charge, d'une piste à l'autre, forme un angle avec l'axe du roulement et une force axiale interne est induite. Il faut en tenir compte pour le calcul des charges équivalentes dans les montages constitués de deux roulements simples et/ou de paires de roulements disposés en T.

Les formules nécessaires sont indiquées dans le **tableau 11** (→ **page 496**), pour les différents montages de roulements et cas de charge. Ces formules sont applicables à condition que les roulements soient montés l'un contre l'autre de manière à obtenir un jeu pratiquement nul mais sans précharge. Dans les montages illustrés, le roulement A est soumis à une charge radiale F_{PA} et le roulement B à une charge radiale F_{PB}. Les valeurs F_{PA} et F_{PB} sont toujours considérées comme positives, y compris lorsque les charges s'exerrent dans le sens opposé à celui indiqué sur les schémas. Les charges radiales agissent au niveau des centres de poussée des roulements (→ distance a dans les tableaux des

La variable R du **tableau 11** (\rightarrow **page 496**) tient compte des conditions de contact dans le roulement. Les valeurs de R peuvent être tirées du **diagramme 1** en tant que fonction du rapport K_a /C. K_a est la force axiale externe agissant sur l'arbre ou sur le palier et C est la charge sur l'arbre ou bar le palier et C est la charge dynamique de base du roulement qui dit compenser la charge axiale externe. Utilisez R = 1 pour $K_a = 0$.



Charges

©SKF

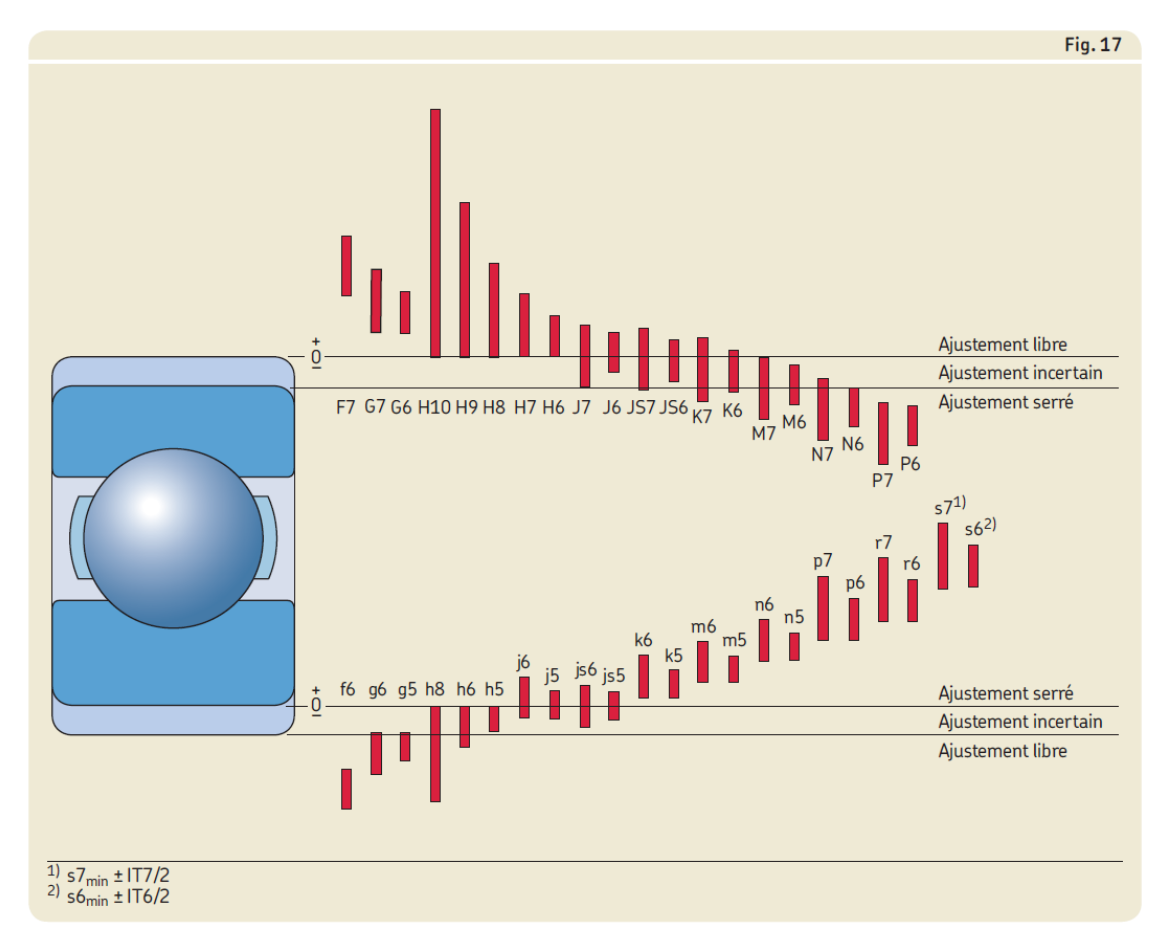
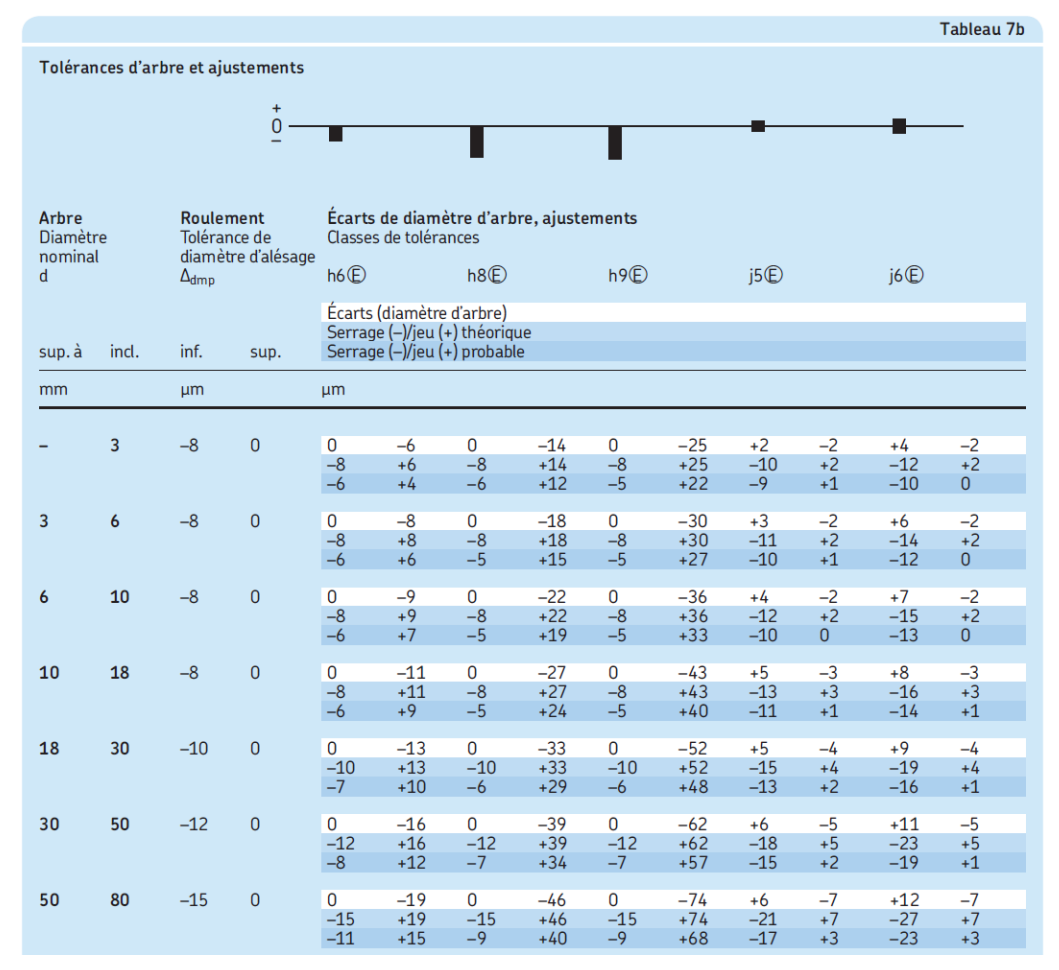


													Tableau 7		
Tolérar	ices d'ar	bre et ajı	ustements												
			⁺ —												
			<u> </u>												
<mark>Arbre</mark> Diamèti		Roule: Toléra	nce de	Classes	Écarts de diamètre d'arbre, ajustements Classes de tolérances										
nomina d	l	diamè ∆ _{dmp}	tre d'alésage	f5©		f6©		g5©		g6©		h5©			
					(diamètre										
sup. à	incl.	inf.	sup.	Serrag	e (–)/jeu (e (–)/jeu (+) théoriqu +) probabl	e Te								
mm		μm		μm											
	2	0	0		10	,	42	2	,	_	0	0	,		
•	3	-8	0	-6 -2 -1	-10 +10 +9	-6 -2 0	-12 +12 +10	-2 -6 -5	-6 +6 +5	-2 -6 -4	-8 +8 +6	0 -8 -7	-4 +4 +3		
	,	0	0												
3	6	-8	0	-10 +2	-15 +15	-10 +2	-18 +18	-4 -4	-9 +9	-4 -4	-12 +12	0 -8	-5 +5		
				+3	+14	+4	+16	- 3	+8	-2	+10	- 7	+4		
6	10	-8	0	-13 +5	-19 +19	-13 +5	-22 +22	-5 -3	-11 +11	-5 -3	-14 +14	0 -8	-6 +6		
				+7	+19	+7	+22	-3 -1	+11	-3 -1	+14	-6	+4		
10	18	-8	0	-16	-24	-16	-27	-6	-14	-6	-17	0	-8		
				+8	+24 +22	+8 +10	+27 +25	-2 0	+14 +12	-2 0	+17 +15	-8 -6	+8		
								U		U			+6		
18	30	-10	0	-20	-29	-20	-33	-7	-16	-7	-20	0	-9		
				+10 +12	+29 +27	+10 +13	+33 +30	-3 -1	+16 +14	-3 0	+20 +17	-10 -8	+9 +7		
30	50	-12	0	-25	-36	-25	-41	-9	-20	-9	-25	0	-11		
				+13 +16	+36 +33	+13 +17	+41 +37	-3 0	+20 +17	-3 +1	+25 +21	-12 -9	+11 +8		
50	80	-15	0	-30	-43	-30	-49	-10	-23	-10	-29	0	-13		
				+15	+43	+15	+49	-5	+23	-5	+29	-15	+13		
				+19	+39	+19	+45	-1	+19	-1	+25	-11	+9		



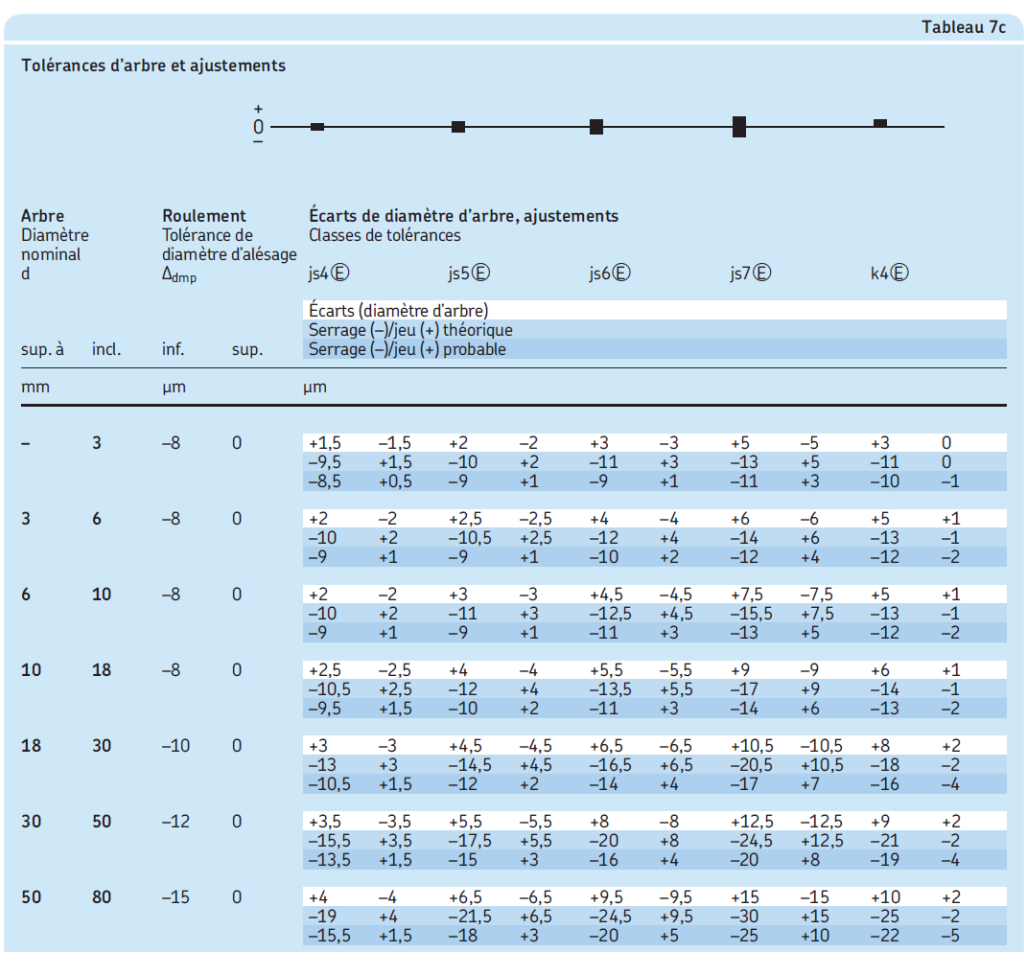
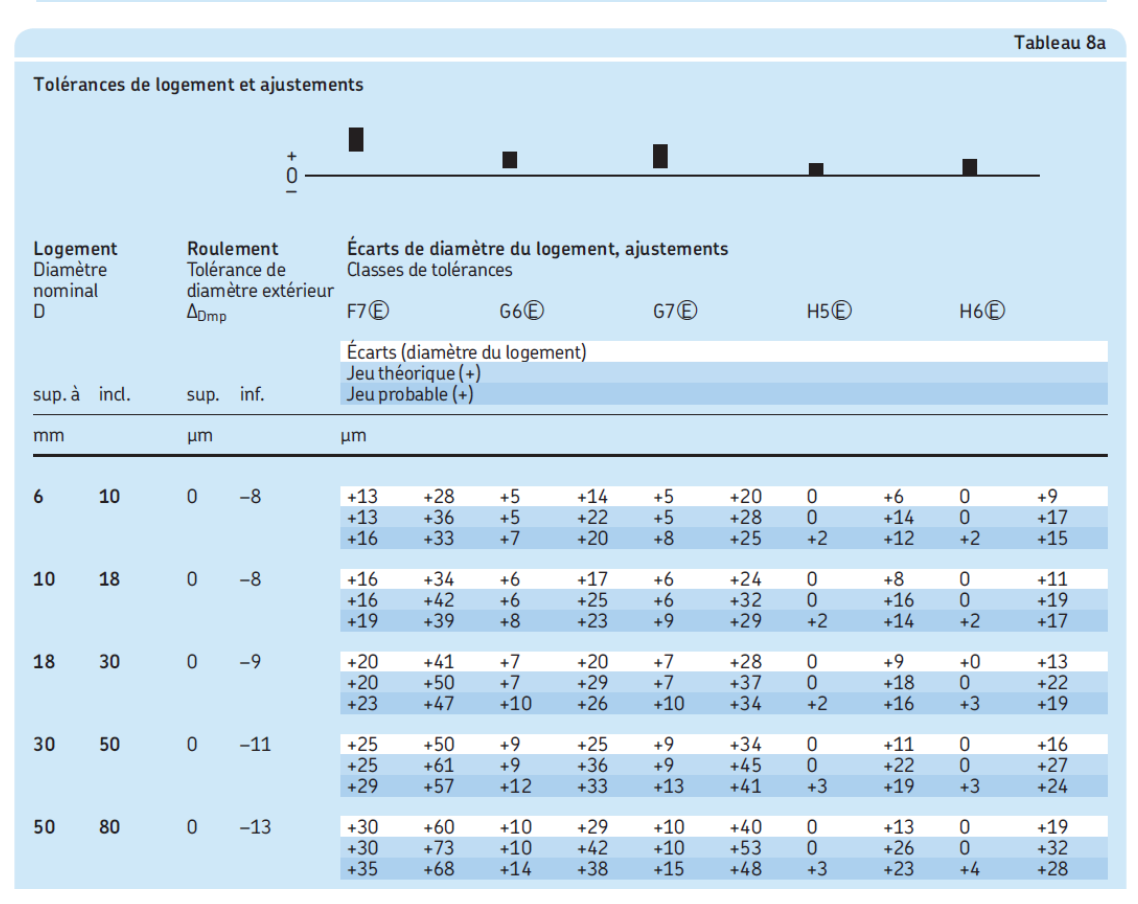
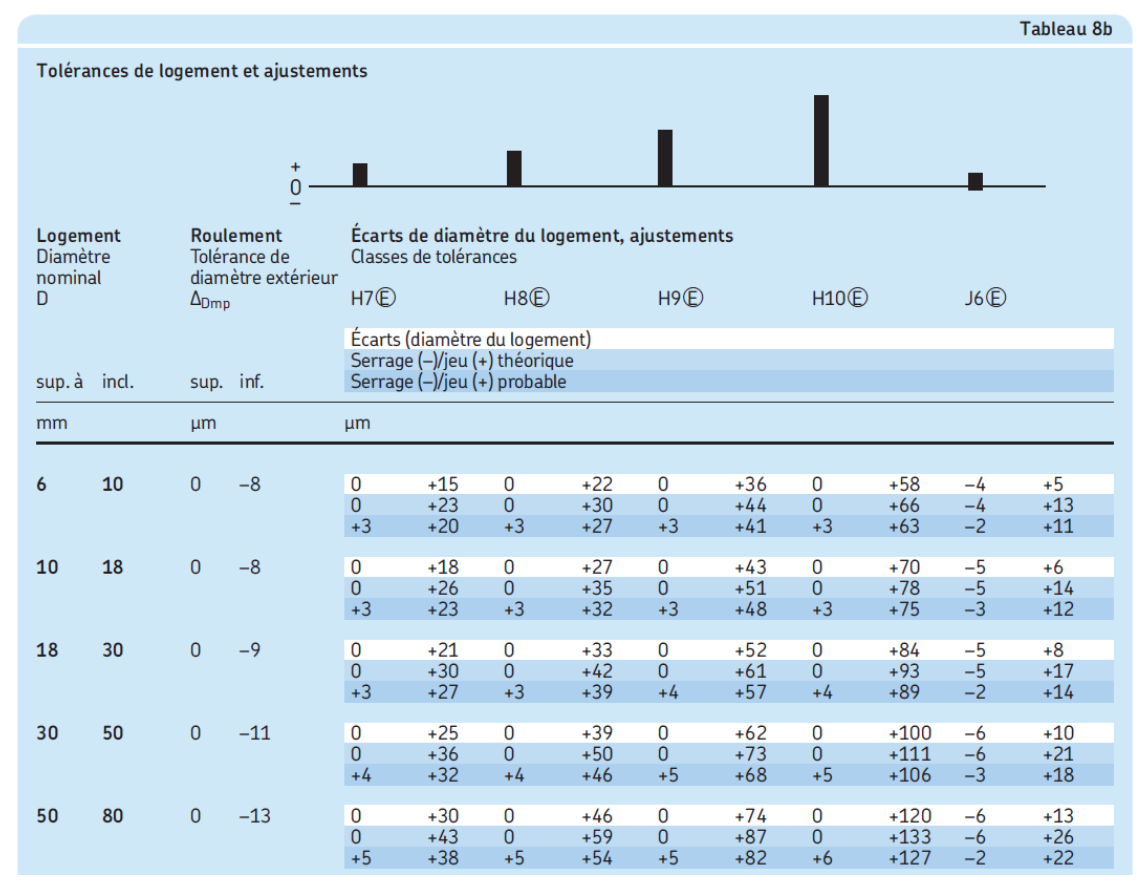
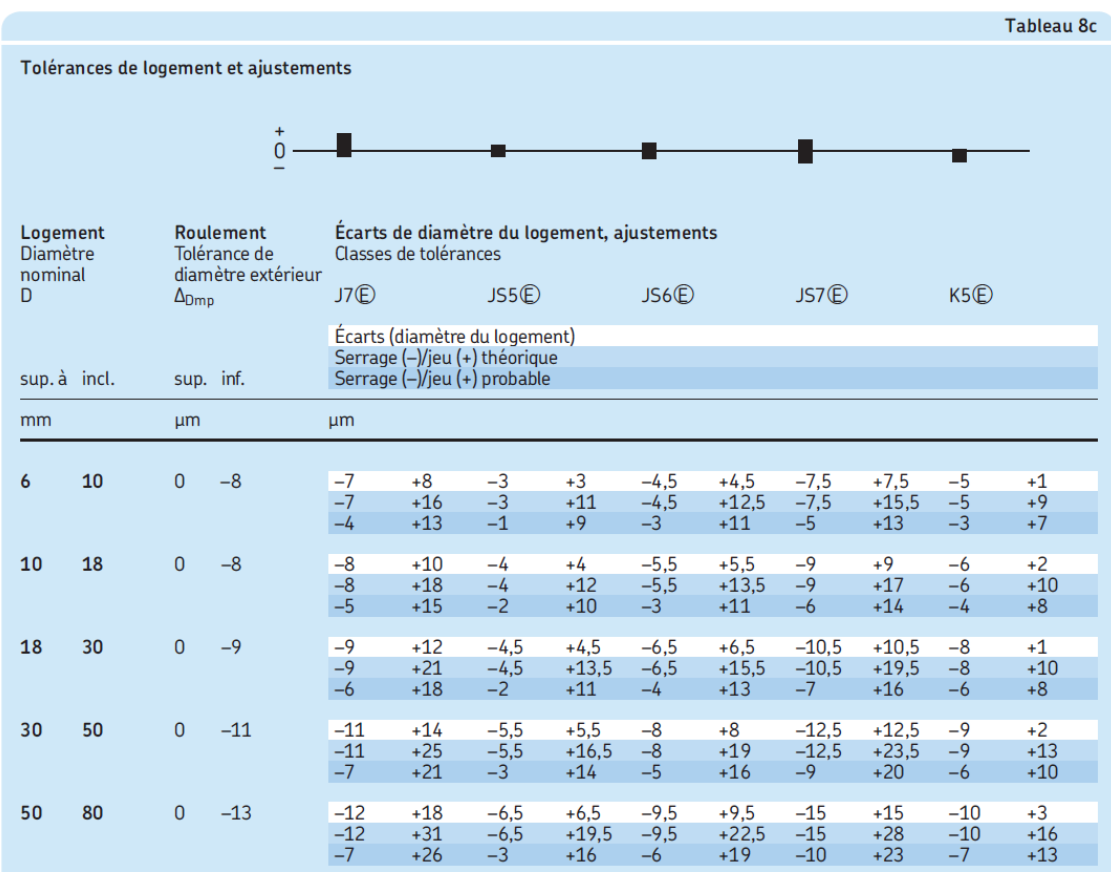


												Tableau 7	
ces d'ar	bre et ajı	ıstements											
		÷ 0 —											
		_											
9													
	diamèt Δ _{dmp}	tre d'alésage	k5©		k6€		m5€	m5©			n5€		
incl.	inf.	sup.											
	μm		μm										
3	-8	0	+4 -12 -11	0 0 -1	+6 -14 -12	0 0 -2	+6 -14 -13	+2 -2 -3	+8 -16 -14	+2 -2 -4	+8 -16 -15	+4 -4 -5	
6	_8	n	+6	 1	+9	 1	+9	+/4	₊ 12	+/4	± 13	+8	
Ū	Ü	Ü	-14 -13	-1 -2	-17 -15	-1 -3	–17 –16	-4 -5	-20 -18	-4 -6	-21 -20	-8 -9	
10	-8	0	+7	+1	+10	+1	+12	+6	+15	+6	+16	+10	
	ŭ	Ŭ	-15 -13	-1 -3	-18 -16	-1 -3	-20 -18	-6 -8	-23 -21	-6 -8	-24 -22	-10 -12	
18	-8	0	+9	+1	+12	+1	+15	+7	+18	+7	+20	+12	
			-17 -15	-1 -3	-20 -18	-1 -3	-23 -21	-7 -9	-26 -24	-7 -9	-28 -26	-12 -14	
30	-10	0	+11	+2	+15	+2	+17	+8	+21	+8	+24	+15	
			-21 -19	-2 -4	-25 -22	-2 -5	-27 -25	-8 -10	-31 -28	-8 -11	-34 -32	–15 –17	
50	-12	0	+13	+2	+18	+2	+20	+9	+25	+9	+28	+17	
			-25 -22	-2 -5	-30 -26	-2 -6	-32 -29	−9 −1 2	−37 −33	−9 −1 3	-40 -37	–17 –20	
80	-15	0	+15	+2	+21	+2	+24	+11	+30	+11	+33	+20	
			-30 -26	-2 -6	-36 -32	-2 -6	-39 -35	-11 -15	-45 -41	-11 -15	-48 -44	-20 -24	
	incl. 3 6 10 18 30 50	Rouler Tolérar diamèr Δ _{dmp} incl. inf. μm 3 -8 6 -8 10 -8 18 -8 30 -10 50 -12	Roulement Tolérance de diamètre d'alésage Δdmp incl. inf. sup. μm 3 -8 0 6 -8 0 10 -8 0 18 -8 0 30 -10 0 50 -12 0	Roulement Classes diamètre d'alésage K5 (E)	Roulement Classes de diam Classes de toléra Classes de toléra K5(E)	Carts de diamètre d'arbre d	Roulement Classes de tolérances K5	Roulement Tolérance de diamètre d'arbre d'arbre, ajustements Classes de tolérances	Carts de diamètre d'arbre, ajustements	Roulement Tolérance de diamètre d'arbre, ajustements Classes de tolérances k5 (Ē) k6 (Ē) m5 (Ē) m6 (Ē) incl. inf. sup.	Roulement Tolérance de diamètre d'arbre, ajustements Tolérance d'arbre, ajustement Tolérance d'arbre, ajustements Tolérance d'arbre, ajuste	Roulement Tolérance de diamètre d'arbre, ajustements Classes de tolérances	







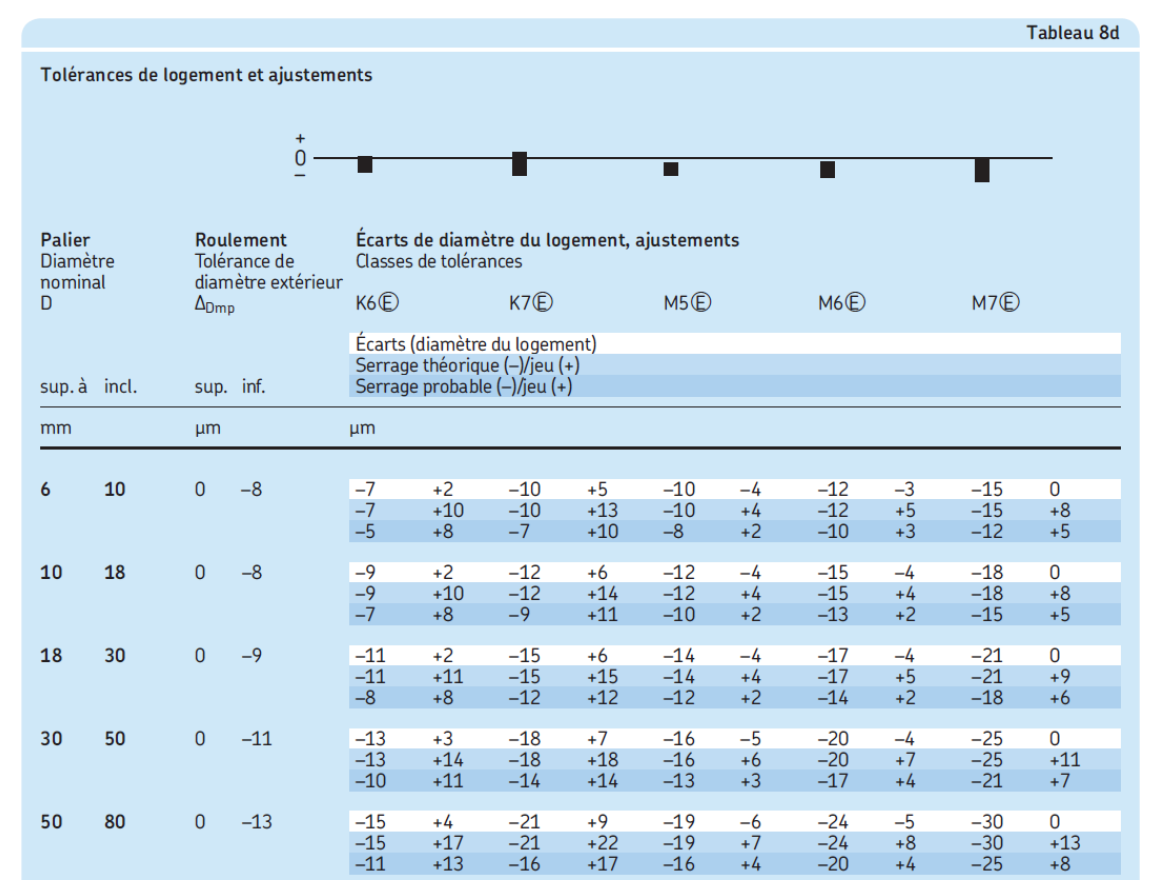
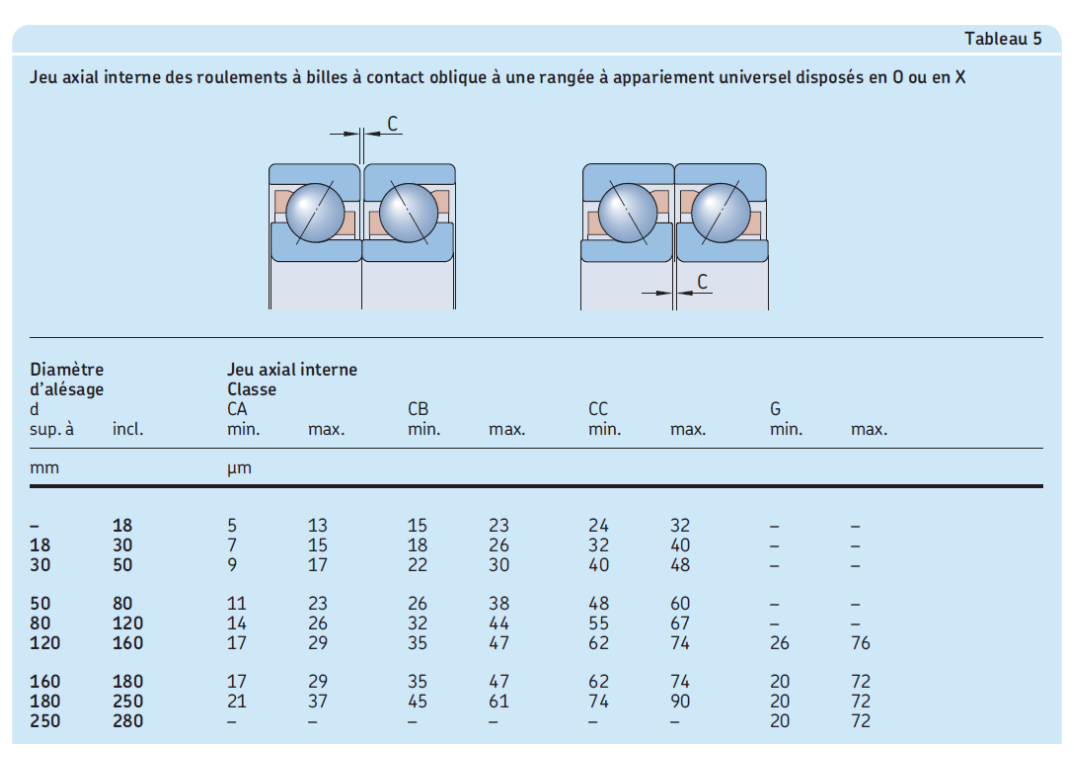
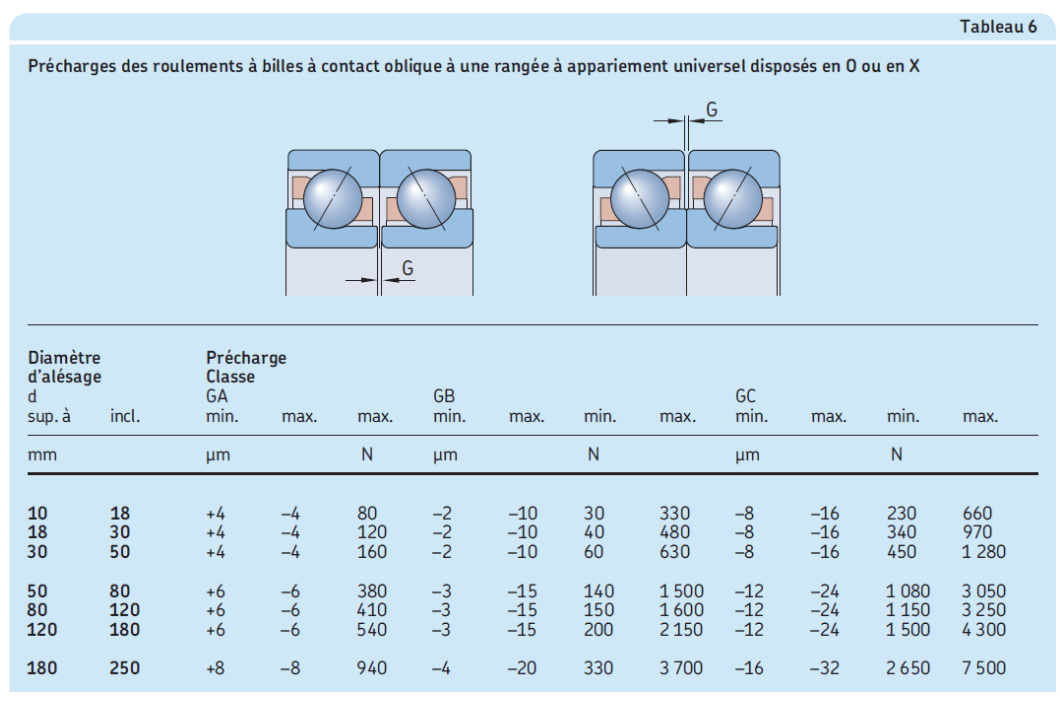


												Tableau 8
Toléra	nces de l	logeme	nt et ajusteme	nts								
			+									
			<u>o</u> —	_		_		_		_		
						•		•		•		
Logen Diamè nomin	tre	Tolé	l <mark>ement</mark> rance de nètre extérieur	Classes	de diam de toléra		gement,	ajusteme	nts			
D	aı	Δ_{Dm}		N6€		N7©		P6©		P7©		
						du logem						
sup. à	incl.	sup.	inf.			+) théoriqu +) probabl						
mm		μm		μm								
,	40	0	0	47		40	,	24	42	2,	0	
6	10	0	-8	-16 -16	-7 +1	-19 -19	-4 +4	-21 -21	-12 -4	–24 –24	-9 -1	
				-14	-1	-16	+1	-1 9	-6	-21	-4	
10	18	0	-8	-20 -20	-9 -1	-23 -23	-5 +3	-26 -26	−15 −7	-29 -29	-11 -3	
				-20 -18	-3	-23 -20	0	-24	-7 -9	-26	-6	
18	30	0	- 9	-24	-11	-28	- 7	-31	-18	-35	-14	
				-24 -21	-2 -5	-28 -25	+2 -1	-31 -28	-9 -12	-35 -32	-5 -8	
20	50	•	44									
30	50	0	-11	-28 -28	-12 -1	-33 -33	-8 +3	–37 –37	-21 -10	-42 -42	–17 –6	
				-25	-4	-29	-1	-34	-13	-38	-1 0	
50	80	0	-1 3	-33 -33	-14 -1	-39 -39	-9 +4	-45 -45	-26 -13	-51 -51	-21 -8	
				-33 -29	- <u>1</u>	-39 -34	+4 -1	-45 -41	-13 -17	-51 -46	-8 -13	

	Roulements à une et deux rangées Jeu normal			Roulen Jeu C3	nents à u	ne rangée	Jeu C4			
F _a /C ₀	е	Х	Υ	е	Х	Υ	е	Х	Υ	
172	0,19	0,56	2,3	0,29	0,46	1,88	0,38	0,44	1,47	
345	0,22	0,56	1,99	0,32	0,46	1,71	0,4	0,44	1,4	
689	0,26	0,56	1,71	0,36	0,46	1,52	0,43	0,44	1,3	
,03	0,28	0,56	1,55	0,38	0,46	1,41	0,46	0,44	1,23	
,38	0,3	0,56	1,45	0,4	0,46	1,34	0,47	0,44	1,19	
,07	0,34	0,56	1,31	0,44	0,46	1,23	0,5	0,44	1,12	
3,45	0,38	0,56	1,15	0,49	0,46	1,1	0,55	0,44	1,02	
5,17	0,42	0,56	1,04	0,54	0,46	1,01	0,56	0,44	1	
5,89	0,44	0,56	1	0,54	0,46	1	0,56	0,44	1	

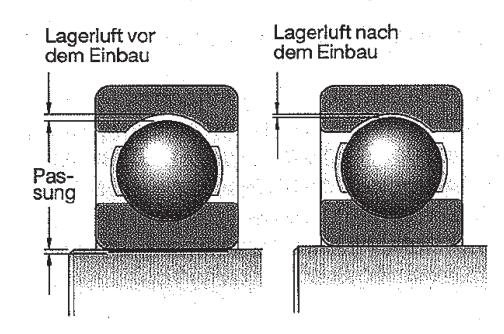




©SKF

Calcul de la réduction de jeu interne après un montage serré (chassage)

Montage chassé (serrage)



Avec:

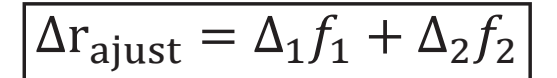
 $\Delta r_{ajust} {:} \quad \mbox{R\'eduction de jeu interne}$

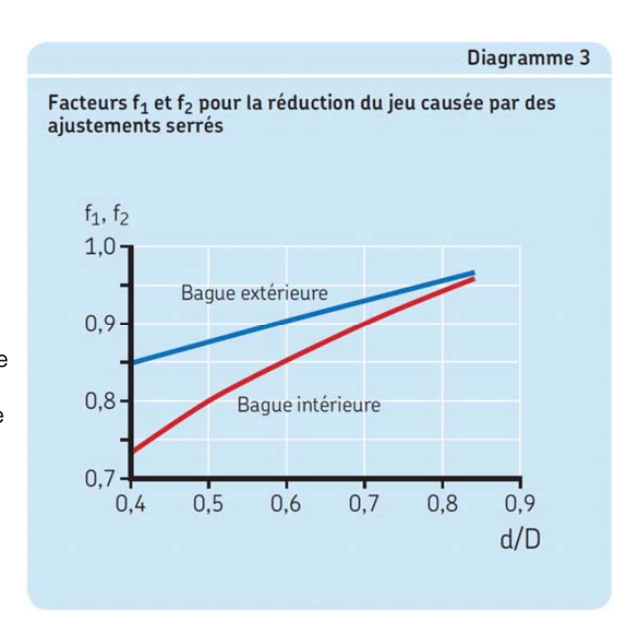
 $\begin{array}{lll} \Delta_1: & \text{Serrage de la bague intérieure sur l'arbre} \\ \Delta_2: & \text{Serrage de la bague extérieure dans l'alésage} \\ f_1: & \text{Facteur de réduction pour la bague intérieure} \\ f_2: & \text{Facteur de réduction pour la bague extérieure} \end{array}$

f₂: Facteur de réduction pour la bagu
 d: Diamètre intérieure du roulement
 D: Diamètre extérieure du roulement

 $\Delta_{1,2}=0$ s'il n'y a pas de serrage

Jeu après montage = jeu avant montage - Δr_{ajust}





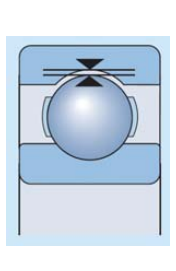
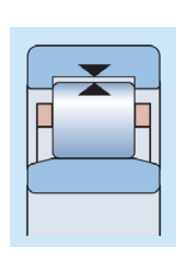


										Tableau 6
al interne des	roulem	ents rigides à	billes							
e d'alésage incl.	Jeu ra C2 min.	dial interne max.	Normal min.	max.	C3 min.	max.	C4 min.	max.	C5 min.	max.
	μm									
6 10 18	0 0 0	7 7 9	2 2 3	13 13 18	8 8 11	23 23 25	- 14 18	- 29 33	- 20 25	- 37 45
24 30 40	0 1 1	10 11 11	5 5 6	20 20 20	13 13 15	28 28 33	20 23 28	36 41 46	28 30 40	48 53 64
50 65 80	1 1 1	11 15 15	6 8 10	23 28 30	18 23 25	36 43 51	30 38 46	51 61 71	45 55 6 5	73 90 105
	e d'alésage incl. 6 10 18 24 30 40 50 65	e d'alésage C2 min. μm 6 0 10 0 18 0 24 0 30 1 40 1 1 50 1 1 65 1 1	e d'alésage incl. Jeu radial interne C2 min. max.	C2 min. max. Normal min. μm 6 0 7 2 10 0 7 2 18 0 9 3 24 0 10 5 30 1 11 5 40 1 11 6 50 1 11 6 65 1 15 8	e d'alésage incl. Jeu radial interne C2 min. max. min. max. μm	e d'alésage incl. Description Description Description	e d'alésage incl. Description C2 min. max. Mormal min. max. min. max.	e d'alésage incl. Description C2 min. max. min.	e d'alésage incl. Jeu radial interne C2 min. max. Normal min. max. C3 min. max. C4 min. max.	e d'alésage incl. Description C2



Jeu rac	dial interne de:	s roulem	ents à roule	aux cylino	trigues à a	alésage cyl	indrique				Tableau
	tre d'alésage incl.	2010	dial interne max.	Normal min.	2.100.	C3 min.	max.	C4 min.	max.	C5 min.	max.
mm		μm									
- 24 30	24 30 40	0 0 5	25 25 30	20 20 25	45 45 50	35 35 45	60 60 70	50 50 60	75 75 85	65 70 80	90 95 105
40 50 65	50 65 80	5 10 10	35 40 45	30 40 40	60 70 75	50 60 65	80 90 100	70 80 90	100 110 125	95 110 130	125 140 165

©SKF